

II-73

乱流の水理模型実験およびFEM解析

九州産業大学 正会員 加納 正道、赤坂 順三

九州産業大学 学生員○西村 順治、大田 浩司

九州産業大学 吉田日出男、山村 透

1. まえがき 河川や海域の流れなどは、ほとんどが乱流である。本研究の解析の対象とするのは、アクリル製の水理模型の乱流であり、この領域には壁面と自由水面を有する。乱流のFE M計算法については、四角形二次要素(図-1)によるReynolds 方程式の定常計算および三角形一次要素(図-2)による渦度等方程式の非定常計算を行なってみた。

2. 基礎方程式 渦度 ω および流れ関数 ψ を次のように表現し、
 $\omega = \partial V / \partial x - \partial U / \partial y \cdots (1), V = -\partial \psi / \partial x, U = \partial \psi / \partial y \cdots (2)$
 Reynolds方程式と連続の式に式(1)、(2)を代入して整理すれば渦度等方程式¹⁾(3)、(4)を得る。 $\frac{\partial^2 \psi}{\partial x^2} + \frac{\partial^2 \psi}{\partial y^2} = -\omega \cdots (3)$
 $\frac{\partial \omega}{\partial t} + \frac{\partial \psi}{\partial y} \frac{\partial \omega}{\partial x} - \frac{\partial \psi}{\partial x} \frac{\partial \omega}{\partial y} = \frac{\partial}{\partial x} \left\{ (\nu + \epsilon_x) \frac{\partial \omega}{\partial x} \right\} + \frac{\partial}{\partial y} \left\{ (\nu + \epsilon_y) \frac{\partial \omega}{\partial y} \right\} \cdots (4)$

3. Galerkin法による定式化 (i) Reynolds方程式等の四角形F EMによる積分 Reynolds方程式と連続の式に重みつき残差法により重み δu 、 δv 、 δp をかけ計算領域で積分し、グリーンの定理により部分積分を行ない定式化を行なった。²⁾ (ii) 渦度等方程式の三角形FEMによる積分 (i)と同様の操作で式(3)、(4)に重み $\delta \omega$ 、 $\delta \psi$ をかけ計算領域で積分を行ない、 ω 、 ψ を形状関数 N_i と節点値 ω_i 、 ψ_i で $\omega = \sum N_i \omega_i, \psi = \sum N_i \psi_i, i=1, 2, 3$ と表わし代入して整理すれば式(5)、(6)となる。

$$\delta \omega^n \left[\int N_i N_j \dot{\omega}_i dQ - \int N_i \left(\frac{\partial N_j}{\partial y} \psi_i \frac{\partial N_k}{\partial x} - \frac{\partial N_i}{\partial x} \psi_j \frac{\partial N_k}{\partial y} \right) \omega_j dQ + \int \epsilon_i \left(\frac{\partial N_i}{\partial x} \frac{\partial N_j}{\partial x} + \frac{\partial N_i}{\partial y} \frac{\partial N_j}{\partial y} \right) \omega_j dQ \right] \\ = \delta \omega^n \int_r N_i \epsilon_i \frac{\partial \omega}{\partial n} d\Gamma \cdots (5) \quad \delta \psi^n \left[\int \left(\frac{\partial N_i}{\partial x} \frac{\partial N_j}{\partial x} + \frac{\partial N_i}{\partial y} \frac{\partial N_j}{\partial y} \right) \psi_j dQ - \int N_i N_j \omega_j dQ \right] = -\delta \psi^n \int_r N_i \frac{\partial \psi}{\partial n} d\Gamma \cdots (6)$$

ここに、 $\dot{\omega}_i$ は時間微分項、 N_i は形状関数である。

4. 境界条件 境界条件は、鉛直水流出入口面、鉛直壁面、底面壁面および自由水面である。 n は壁に対して法線方向を表わし、固定壁の値に B 、境界層界面の値に C_r 、境界より一つ内側の点を N として検討する。(i) 流速条件 固定境界は、アクリル板なので水流は滑面の流れとなり、Prandtlの理論およびNikuradseの実験から、滑面での水流の平均流速は次式で示される。

$U/U_* = y U_* / \nu \cdots$ 境界層内、 $U/U_* = (1/\kappa) \log y U_* / \nu + \text{const}$
 \cdots 境界層外 $\cdots (7)$ 式(7)での U は、壁面に沿う流れの平均流速、 y は壁に直交する方向、 κ はカルマン定数、 U_* は摩擦速度である。 u 、 v 、 $\partial u / \partial n$ について検討すれば式(8)、(9)となる。 $u_B = v_B = v_{\text{水面}} = 0, u_{\text{鉛直壁}} = v_{\text{鉛直壁}} = 0 \cdots (8)$

$$\left. \frac{\partial u}{\partial n} \right|_B = \left\{ \begin{array}{l} \left. \frac{\partial u}{\partial y} \right|_{\text{底面}} = \left. \frac{\partial v}{\partial x} \right|_{\text{底面}} = 0 \\ \left. \frac{\partial v}{\partial x} \right|_{\text{鉛直壁}} = \left. \frac{\partial u}{\partial y} \right|_{\text{鉛直壁}} = 0 \end{array} \right., \left. \frac{\partial u}{\partial y} \right|_{\text{水面}} = 0 \cdots (9)$$

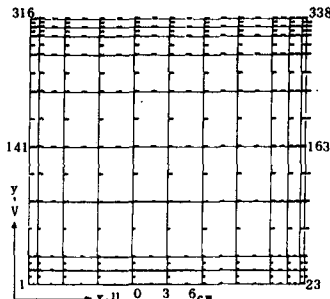


図-1 四角形要素分割

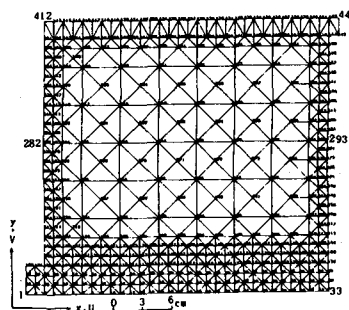


図-2 三角形要素分割

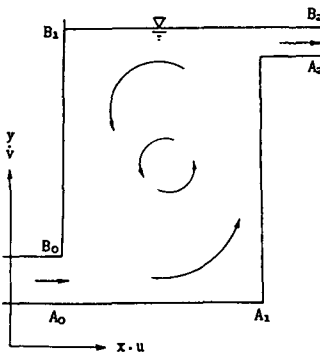


図-3 解析境界

(ii) 流れ関数の条件 図-3 の地点名を参照して ψ_{A0}
 $=0$ とおけば $\psi_{A0A1A2}=0$, $\psi_{B0B1B2}=\psi_{B0}=Q$ となり、
 $\partial\psi/\partial n|_B$ を検討すれば式(10)となる。

$$\frac{\partial\psi}{\partial n}|_B = \begin{cases} \frac{\partial\psi}{\partial x}|_{\text{船底壁}} = -v|_{\text{壁}} = 0 \\ \frac{\partial\psi}{\partial y}|_{\text{底面}} = u|_{\text{底面}} = 0 \end{cases} \quad (10)$$

(iii) 湍度の条件 ω_B 、 ω_{Cr} 、 $\partial\omega/\partial n$ について式(1)、
(7)より検討すれば式(11)、(12)となる。¹⁾

$$\omega_B = \{\omega_{\text{船底壁}} = \frac{\partial v}{\partial x}|_{\text{船底壁}}, \omega_{\text{底面}} = -\frac{\partial u}{\partial y}|_{\text{底面}}, \omega_{\text{水面}} = -\frac{\partial u}{\partial y}|_{\text{水面}}\}$$

$$, \omega_{Cr} = \{\omega_{\text{船底}Cr} = \frac{\partial v}{\partial x}|_{\text{船底}Cr}, \omega_{\text{底面}Cr} = -\frac{\partial u}{\partial y}|_{\text{底面}Cr}\} \dots (11)$$

$$\frac{\partial\omega}{\partial n} = \begin{cases} \frac{\partial\omega}{\partial x}|_{\text{船底壁}} = \frac{\partial\omega}{\partial x}|_{\text{船底}Cr} = \frac{\partial^2 v}{\partial x^2}|_{\text{境界層内}} = 0 \\ \frac{\partial\omega}{\partial y}|_{\text{底面}} = \frac{\partial\omega}{\partial y}|_{\text{底面}Cr} = -\frac{\partial^2 u}{\partial y^2}|_{\text{境界層内}} = 0 \end{cases} \dots (12)$$

式(11)では与えていない ω_B 、 ω_{Cr} を得るために B と
N の距離を l として次式中の添字 B は Cr と読み換えう
るものとする。固定壁、境界層界面上でテラーー展開
して、 $\partial\omega_B/\partial n = (\omega_B - \omega_N)/l$ と近似した場合

$$\omega_B = \frac{3}{l^3}(\psi_B - \psi_N + u_B l) - \frac{\omega_N}{2} \quad 3) \text{ となるが、式(12)}$$

に記したように $\partial\omega/\partial n$ はゼロとなるから、式(1)、
(11)、(12)から湍度の境界条件式は式(13)とした
方が妥当であろう。 $\omega_B = \frac{2}{l^2}(\psi_B - \psi_N + u_B l) \cdot (13)$

5. むすび 本研究のようにアクリル板を壁面とする
場合 0.5 mm 程度の極くうすい境界層をもつものと推
擦され、本研究では、境界層界面を解析境界と設定し
固定壁を含めずに解析する方法をとった。四角形要素
による定常解は、図-4 のようになり実験実測値図-
7 とほぼ同様の値となり、三角形要素による非定常解
は、2 秒で図-5、30 秒程度で図-6 のようになり
図-7 とほぼ等しい結果を得た。これより時間の経過
とともに流れが、定常の流況となることがわかる。

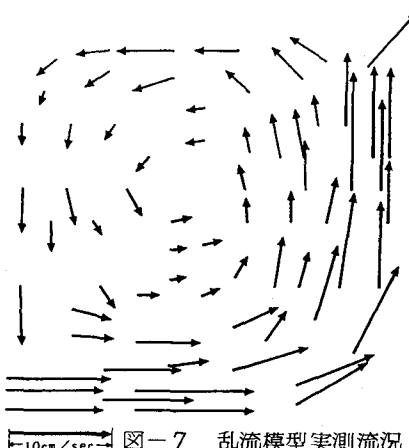


図-7 乱流模型実測流況

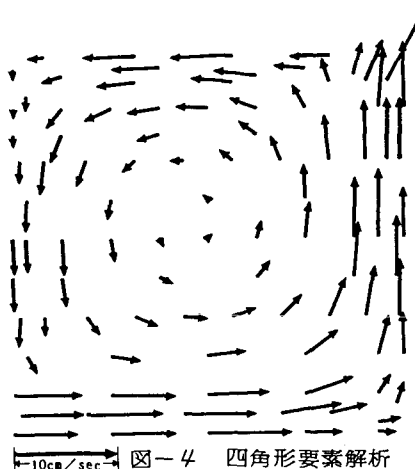


図-4 四角形要素解析

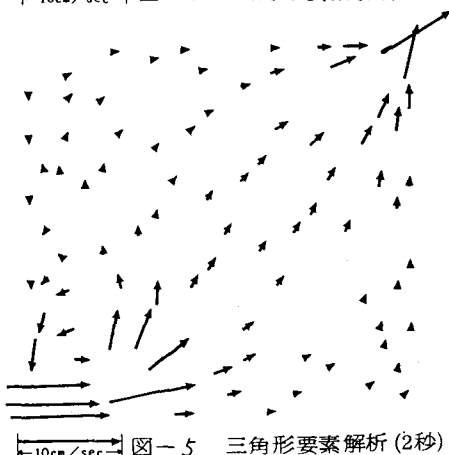


図-5 三角形要素解析 (2秒)

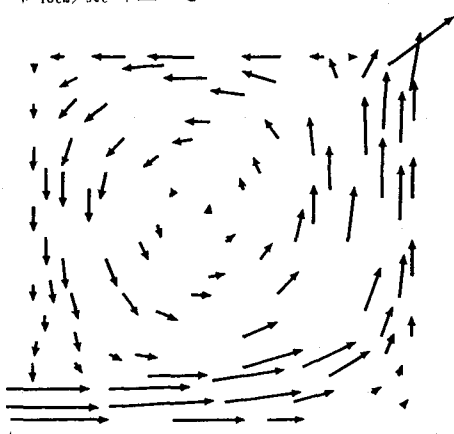


図-6 三角形要素解析 (30秒)

参考文献

- 1) 加納正道ら：乱流の有限要素法解析および模型実験、
九州産業大学工学部研究報告第 20 号
- 2) 加納正道ら：拡散水理模型における循環流の FEM による解析、
57 年度土木学会西部支部講演概要集
- 3) R.R.Hwang, FEM for Viscous Stratified Flow Over
a Semi-Circular Barrier, FE Flow Analysis, Univ.
of Tokyo Press, pp. 163-170, (1982).